



دانشگاه صنعتی اصفهان

دانشکده علوم ریاضی

در بارهی اندیس‌های توپولوژیک گراف لوله‌های نانو و حاصل ضرب ریشه‌ای گراف‌ها

رساله دکتری ریاضی

عباس حیدری

استاد راهنما

دکتر بیژن طائری

دانشگاه صنعتی اصفهان
دانشکده علوم ریاضی

رساله‌ی دکتری ریاضی

تحت عنوان

درباره‌ی اندیس‌های توپولوژیک لوله‌های نانو و حاصل‌ضرب ریشه‌ای گراف‌ها

در تاریخ ۱۳۸۷/۵/۱۳ توسط کمیته تخصصی زیر مورد بررسی و تصویب نهایی قرار گرفت.

- | | | | | | |
|-----------------------|---------------------|------------------------------------|--|-----------------------------|--------------------------------|
| دکتر بیژن طائری | دکتر علیرضا اشرفی | دکتر محمدرضا درفشه (دانشگاه تهران) | دکتر علی ایرانمنش (دانشگاه تربیت مدرس (تهران)) | دکتر بهناز عمومی | دکتر غلامرضا امیدی |
| — استاد راهنمای رساله | — استاد مشاور رساله | — استادید داور خارج از دانشکده | — استادید داور داخل دانشکده | — استادید داور داخل دانشکده | — استادید داور خارج از دانشگاه |

دکتر رسول نصر اصفهانی

سرپرست تحصیلات تکمیلی دانشکده

در اینجا لازم می‌دانم از استاد گرامی خود جناب آقای دکتر طائری که در تمام مدت تحصیل در این دوره و تهییه این رساله صبورانه مشوق و حامی ایسجانب بوده و زحمات زیادی را در این زمینه مستقبل شده‌اند کمال تشکر و قدردانی را داشته باشم. همچنین از راهنمای‌های ارزشمند جناب آقای دکتر اشرفی از دانشگاه کاشان در تهییه این رساله نیز کمال تشکر را دارم. در پایان از تمامی دوستان دوران تحصیل که با لطف و محبت خود من را در این راه کمک نموده‌اند سپاس‌گذاری می‌کنم. به ویژه از حمایت و لطف بی‌کران خانواده و همسرم تشکر و سپاس فراوان دارم.

کلیه حقوق مادی مترتب بر نتایج مطالعات، ابتكارات و نوآوری‌های ناشی از تحقیق موضوع این پایان‌نامه متعلق به دانشگاه صنعتی اصفهان است.

فهرست مطالب

۲	فصل اول مقدمه
۲	۱-۱ پیشینه تاریخی
۵	۱-۲ تعاریف و مفاهیم اولیه
۱۵	فصل دوم اندیس‌های توپولوژیک گراف $TUC_4C_8(R)$
۱۶	۱-۲ اندیس وینر گراف $TUC_4C_8(R)$
۳۲	۲-۲ اندیس شولتز گراف $TUC_4C_8(R)$
۳۳	۳-۲ اندیس هایپر وینر گراف $TUC_4C_8(R)$
۳۵	۴-۲ اندیس سگد گراف $TUC_4C_8(R)$
۴۸	فصل سوم اندیس‌های توپولوژیک گراف $TUC_4C_8(S)$
۴۹	۱-۳ اندیس وینر گراف $TUC_4C_8(S)$
۵۵	۲-۳ اندیس شولتز گراف $TUC_4C_8(S)$
۵۶	۳-۳ اندیس سگد گراف $TUC_4C_8(S)$
۶۲	فصل چهارم حاصل ضرب ریشه‌ای گراف‌ها
۶۲	۱-۴ اندیس وینر حاصل ضرب ریشه‌ای گراف‌ها
۶۶	۲-۴ چند جمله‌ای مشخصه و طیف حاصل ضرب ریشه‌ای گراف‌ها
۷۸	۳-۴ حاصل ضرب ریشه‌ای گراف‌های کامل
۹۰	فصل پنجم درخت‌های بت تعیین یافته
۹۰	۱-۵ چند جمله‌ای‌های مشخصه و طیف درخت بت تعیین یافته

۱

۹۷ ۲-۵ اندیس وینر درخت‌های بت تعییم یافته

۱۰۰

فهرست نشانه‌ها

۱۰۱

واژه‌نامه انگلیسی به فارسی

۱۰۵

واژه‌نامه فارسی به انگلیسی

۱۰۹

مراجع

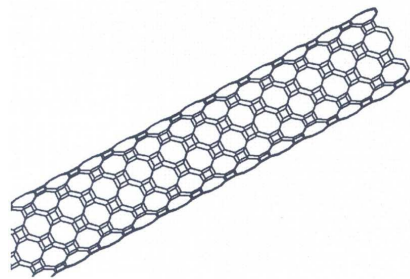
فصل ۱

مقدمه

۱-۱ پیشینه تاریخی

در سال‌های اخیر استفاده از مفاهیم ریاضی در بررسی ساختار عناصر و ترکیبات شیمیایی به منظور تعیین خواص آنها به شکل گسترشده‌ای افزایش یافته است. این مفاهیم بیشتر به منظور مطالعه شبکه‌ی منتبه به یک مولکول به کار گرفته می‌شوند. شبکه‌ی مولکولی در واقع یک گراف است که رئوس آن اتم‌ها و پیوندهای موجود در این مولکول یال‌های آن گراف را تشکیل می‌دهند. بررسی تقارن‌های موجود در یک مولکول با استفاده از مباحث نظریه گروه‌ها از قدمت زیادی برخودار است. در سال‌های اخیر مطالعه شبکه‌های مولکولی با استفاده از مباحث نظریه گراف گسترش چشمگیری داشته است. یکی از مباحث مطرح در این زمینه اندیس توپولوژیک گراف است که به عنوان توصیفگر ساختاری معرفی می‌شود. اندیس توپولوژیک یک گراف، توصیفگری عددی است که تحت یکسانی گراف‌ها پایا و مبین ویژگی خاصی از آن گراف می‌باشد. به عنوان مثال اندیس توپولوژیک یک گراف مولکولی ممکن است مشخص کننده‌ی یک خاصیت شیمیایی یا فیزیکی از آن مولکول باشد. مزیت مهم این توصیفگر نسبت به توصیفگرهای دیگر مثل توصیفگرهای هندسی و کوانتمی این است که محاسبه این توصیفگر برای شبکه‌ها با ساختار مختلف بسیار ساده‌تر است. اندیس‌های توپولوژیک عموماً بر مبنای مفهوم فاصله در گراف تعریف می‌شوند. قدیمی‌ترین اندیس توپولوژیک در سال ۱۹۴۷ توسط یک شیمیدان به نام هارولد وینر^۱ به منظور تعیین

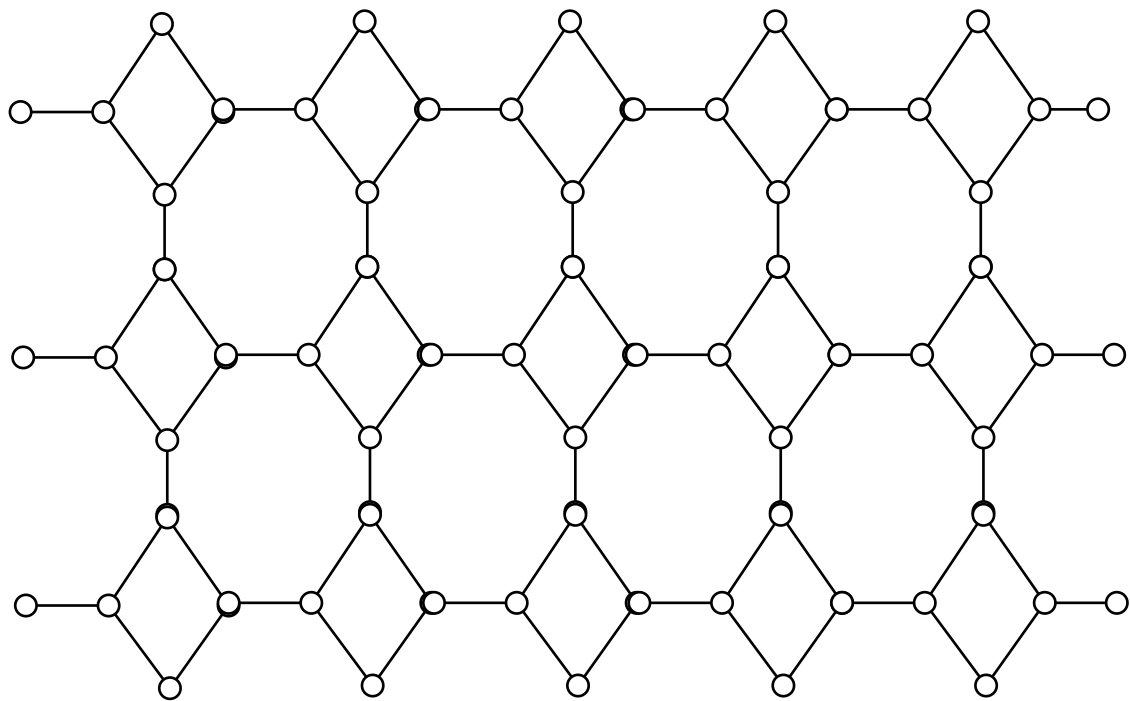
^۱ Harold wiener

شکل ۱-۱: لوله نانو $TUC_4C_8(S)$

خواص نوعی از آلکان‌ها تعریف شد. او توانست رابطه‌ای خطی بین این اندیس و نقطه جوش این آلکان‌ها بدست آورد [۴۵، ۴۶، ۴۷]. اما تعریف دقیق این اندیس بر مبنای مفاهیم نظریه گراف در سال ۱۹۷۱ توسط هوسویا^۲ برای گراف‌های دلخواه معرفی شد [۲۷]. اندیس‌های دیگر نیز بعدها برای مطالعه خواص شیمیایی و فیزیکی مواد معرفی شدند. امروزه در علوم مختلف مثل شیمی، فیزیک، زیست‌شناسی و داروسازی کاربرد اندیس‌های توپولوژیک دیده می‌شود. از جمله ساختارهایی که به طور گسترده در این زمینه مورد بررسی قرار گرفتند گراف‌های مناسب به ساختارهای نانو می‌باشند. در سال ۱۹۹۱ لوله‌های نانو^۳ به عنوان ساختارهای چند دیواره توسط ایجیما^۴ کشف شدند [۳۴، ۳۳]. این مواد خواص مکانیکی قابل توجه‌ای را از خود بروز دادند. مطالعات آزمایشگاهی نشان داد که آنها به مجموعه‌ی مواد سخت و ارجاعی متعلق می‌باشند. این مشخصه‌های مکانیکی، نانو لوله‌ها را در ردیف ترکیبات پیشرفته قرار می‌دهد. ضریب سختی و استحکام کشسانی بالا در لوله‌های نانو باعث شده است که در صنایع مختلف کاربردهای زیادی داشته باشد. معروف‌ترین نوع لوله‌های نانو، گرافی است که در شبکه‌ی آنها اتم‌ها آرایش شش ضلعی دارند. این لوله‌ها با توجه به نوع آرایش اتم‌ها به سه دسته مختلف تقسیم و با نماد TUC_6 نشان داده می‌شوند. بررسی خواص مختلف ساختارهای نانو با استفاده از اندیس‌های توپولوژیک و محاسبه این اندیس‌ها در طی چند سال اخیر مورد توجه قرار گرفته است. در این رابطه می‌توان به مقالات برجسته‌ای از گوتمن^۵، دیودی^۶ [۱۲]-[۷] و اشرفی [۱، ۴۶] اشاره کرد.

در دو فصل اول این رساله اندیس‌های مطرح و پرکاربرد برای نوعی خاص از لوله‌هی نانو که در شبکه‌ی آنها اتم‌ها با آرایش چهار و هشت ضلعی مرتب شده‌اند و با نماد TUC_4C_8 نشان داده می‌شوند،

^۲ Hosoya^۳ nanotubes^۴ Iijima^۵ Gutman^۶ Diudia



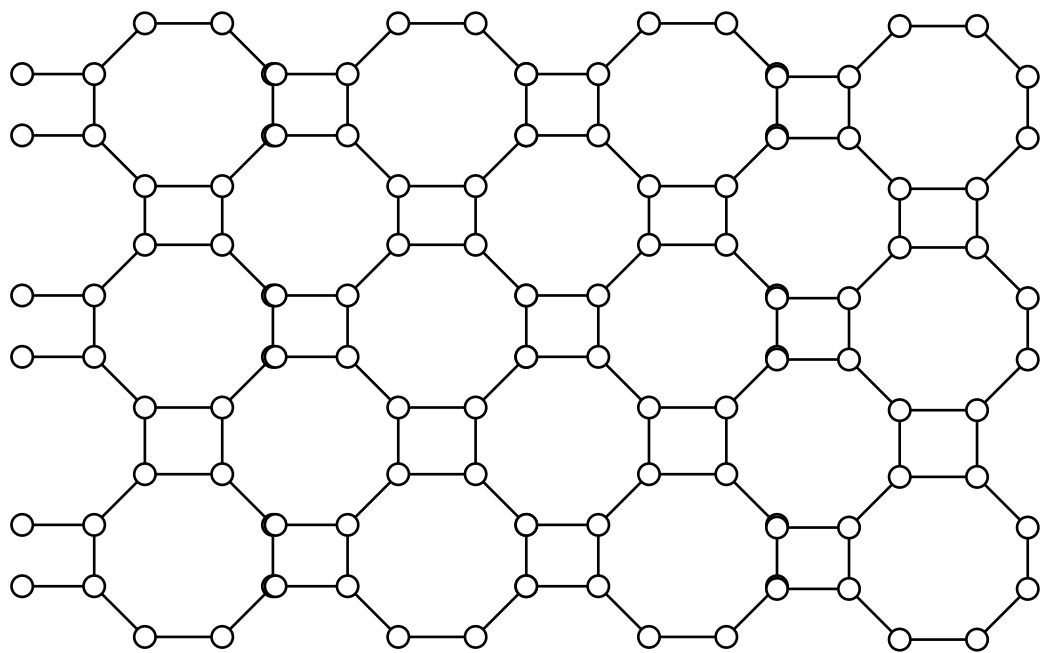
شکل ۱-۲: گراف لوله نانو $TUC_4C_8(R)$

محاسبه خواهند شد. گراف این لوله‌ها با توجه به آرایش اتم‌های آن به دو نوع مختلف با نمادهای $TUC_4C_8(S)$ و $TUC_4C_8(R)$ تقسیم می‌شوند. در شکل‌های ۱-۱ و ۱-۲ ساختار این دو گراف نشان داده شده است.

در فصل سوم حاصل ضرب ریشه‌ای گراف‌ها که توسط گودسیل^۷ و مکی^۸ در سال ۱۹۷۸ معرفی شد [۲۹]، مورد بررسی قرار خواهد گرفت. این دو نویسنده ضمن معرفی این عملگر روی گراف‌های ریشه‌دار، چندجمله‌ای مشخصه ماتریس مجاورت گراف حاصل ضرب را با استفاده از مفهوم همپیوستگی گراف‌ها بررسی کردند. در این رساله با در نظر گرفتن آرایشی خاص برای ماتریس مجاورت حاصل ضرب ریشه‌ای گراف‌ها برای محاسبه چندجمله‌ای مشخصه ماتریس مجاورت این عملگر روشی جدیدی معرفی خواهد شد که برای محاسبه چندجمله‌ای مشخصه ماتریس لاپلاسی این عملگر هم قابل استفاده است. با استفاده از این بحث چندجمله‌ای مشخصه ماتریس‌های مجاورت و لاپلاسی و همچنین ریشه‌های این چندجمله‌ای‌ها برای گراف‌هایی که از ضرب ریشه‌ای گراف‌های متعارف ساخته می‌شوند را بررسی می‌کنیم.

^۷ Godsil

^۸ Mckay

شکل ۱-۳: گراف لوله نانو $TUC_4C_8(S)$

در انتهای آن دیس وینر حاصل ضرب ریشه‌ای گراف‌ها را بررسی می‌کنیم و رابطه بین آن دیس وینر گراف حاصل ضرب ریشه‌ای و گراف‌های سازنده آن را بدست می‌آوریم. همچنین با استفاده از این بحث آن دیس وینر چند گراف که با مفهوم حاصل ضرب ریشه‌ای تعریف می‌شوند را محاسبه خواهیم کرد. درخت بت تعمیم یافته نمونه‌ای از این نوع گراف‌ها است. در فصل چهارم با استفاده از مفهوم حاصل ضرب ریشه‌ای، چند جمله‌ای‌های مشخصه ماتریس‌های مجاورت و لاپلاسی و همچنین آن دیس وینر این درخت‌ها را محاسبه خواهیم کرد.

۱-۲ تعاریف و مفاهیم اولیه

در این فصل مفاهیم مقدماتی مورد نیاز در فصل‌های بعد معرفی می‌شوند. در ابتدا تعاریف و مفاهیم پایه‌ای نظریه گراف توضیح داده می‌شوند. سپس مفاهیم اولیه درباره آن دیس‌های توپولوژیک گراف‌ها معرفی خواهند شد.

یک گراف عبارت است از یک مجموعه غیر تهی V و یک مجموعه (احتمالاً غیر تهی) E که شامل زیر مجموعه‌های دو عضوی از مجموعه V باشد. عناصر مجموعه V رأس و اعضای مجموعه E یا ل

گراف نامیده می‌شوند. گراف G با مجموعه رئوس V و مجموعه یال‌های E را با نماد $G = (V, E)$ نشان می‌دهیم. منظور از یال (u, v) در گراف G اتصال دو رأس u و v از این گراف می‌باشد. این یال به فرم ساده‌تر uv نیز نشان داده می‌شود. در این صورت u رأس ابتدا، v رأس انتهای یال uv و این دو رأس را مجاور گویند. در سراسر این رساله فرض می‌کنیم $V(G)$ و $E(G)$ به ترتیب مشخص کننده‌ی مجموعه رئوس و یال‌های گراف G باشند.

تعداد رئوس یک گراف را مرتبه^۹ آن گراف می‌نامند. همچنین اگر دو یال متمایز e_1 و e_2 از گراف یک رأس مشترک داشته باشند یال‌های مجاور نامیده می‌شوند. اگر اعضای مجموعه E در گراف $G = (V, E)$ را زوج‌های مرتب از اعضای V در نظر بگیریم گراف G را جهت‌دار^{۱۰} می‌نامیم. در غیر این صورت G غیرجهت‌دار^{۱۱} نامیده می‌شود.

منظور از یک طوقه^{۱۲} یالی از گراف است که رأس‌های ابتدا و انتهای آن برابر باشند. گرافی که دارای طوقه نباشد و بین هیچ دو رأس بیش از یک یال وجود نداشته باشد را یک گراف ساده گویند.

می‌توان گراف غیرجهت‌دار G را با نمایش رئوس بوسیله نقاط و اتصال رئوس مجاور به وسیله یک خط راست یا منحنی نمایش داد. اگر گراف جهت‌دار باشد می‌توان مجاورت را با درنظر گرفتن ابتدا و انتهای یال مورد نظر با یک فلش نشان داد. در سراسر این پایان‌نامه تمام گراف‌ها ساده و غیرجهت‌دار در نظر گرفته می‌شوند.

تعريف ۱.۱ گراف $G' = (V', E')$ زیر گراف $G = (V, E)$ نامیده می‌شود، اگر V' زیرمجموعه V و E' زیرمجموعه E باشد.

زیر گراف $G' = (V', E')$ از گراف $G = (V, E)$ را ماکریمال گویند اگر E' شامل تمام یال‌های G که نقاط انتهایی آن عضوی از V' است، باشد. در یک گراف تعداد رئوسی که با رأس v مجاور باشند را درجه^{۱۳} این رأس می‌نامند و با نماد $\deg(v)$ نشان داده می‌شود. گرافی که همه‌ی رئوس آن دارای درجه برابر باشند گراف منظم^{۱۴} نامیده می‌شود.

لم ۲.۱ در گراف $G = (V, E)$ روابط زیر برقرار است

$$a) \sum_{v \in V} \deg(v) = 2|E(G)|$$

$$b) d_1 + 2d_2 + 3d_3 + \dots + kd_k = 2|E(G)|$$

که در آن d_i تعداد رئوس گراف با درجه i و k بیشترین درجه ظاهر شده‌ی رئوس گراف را مشخص می‌کنند.

^۹ order

^{۱۰} directed

^{۱۱} undirected

^{۱۲} loop

^{۱۳} degree

^{۱۴} regular

منظور از یک مسیر^{۱۵} در گراف G دنباله‌ای از رئوس G به صورت $v_1, v_2, \dots, v_{k-1}, v_k$ است که به ازای هر $i \leq k-1$ ، (v_i, v_{i+1}) یال‌هایی متمایز از گراف G باشند. این مسیر به شکل زیر نمایش داده می‌شود.

$$v_1 \rightarrow v_2 \rightarrow v_3 \rightarrow \dots \rightarrow v_{k-1} \rightarrow v_k$$

طول این مسیر برابر $k-1$ تعریف می‌شود. کوتاهترین مسیر بین دو رأس از یک گراف مسیری است که دارای کمترین طول باشد. اگر مسیری بین دو رأس موجود نباشد آن‌گاه فاصله بین دو رأس برابر بینهایت تعریف می‌شود.

اگر یک مسیر دارای رأس‌های تکراری نباشد آن را مسیر ساده می‌نامند. طول یک مسیر ساده تعداد یال‌های آن مسیر است. یک دور^{۱۶} مسیری ساده است که رأس‌های ابتدا و انتهای آن مسیر برابر باشند. گرافی که بین هر دو رأس آن حداقل یک مسیر وجود داشته باشد را یک گراف همبند^{۱۷} می‌نامند. در غیر این صورت گراف را ناهمبند می‌نامند. در گراف ناهمبند هر زیرگراف همبند ماکزیمال مؤلفه همبند^{۱۸} آن گراف نامیده می‌شود. فرض کنیم $G = (V, E)$ یک گراف همبند باشد. به ازای هر دو رأس u و v از گراف G فاصله آنها را با $d_G(u, v)$ نشان می‌دهیم که به صورت ساده‌تر $d(u, v)$ نیز نشان داده می‌شود. اگر u رأسی دلخواه از گراف G باشد در این صورت دوری از مرکز^{۱۹} u بیشترین فاصله‌ای است که بین u و رأسی دیگر از G وجود دارد. کمترین مقدار دوری از مرکز در بین تمام رئوس G را شعاع^{۲۰} گراف G گویند. رأس مرکزی^{۲۱} گراف رأسی از گراف است که دوری از مرکز آن برابر شعاع گراف باشد.

تعریف ۳.۱ درخت^{۲۲} گراف همبندی است که شامل دور نباشد.

تعریف ۴.۱ گراف ریشه‌دار^{۲۳} گراف G ریشه‌دار نامیده می‌شود اگر یک رأس از این گراف با برچسبی ویژه از سایر رئوس G متمایز شده باشد. این رأس را ریشه گراف G گویند.

معروف‌ترین گراف ریشه‌دار درخت ریشه‌دار است. در این درخت طول مسیر از ریشه تا هر رأس به اضافه یک را سطح^{۲۴} آن رأس گویند. بالاترین سطح درخت را ارتفاع^{۲۵} آن درخت نامیده می‌شود. در درخت

^{۱۵}path

^{۱۶}cycle

^{۱۷}connected

^{۱۸}connected component

^{۱۹}eccentricity

^{۲۰}radius

^{۲۱}central

^{۲۲}tree

^{۲۳}rooted tree

^{۲۴}level

^{۲۵}height

دلخواه رئوس از درجه یک را رأس آویخته^{۲۶} می‌نامند. اگر در یک درخت ریشه‌دار درجه همه‌ی رئوس به جز رئوس آویخته برابر باشند آن درخت را دندریمر^{۲۷} می‌نامند. در مباحث علم شیمی این درخت در نمایش گراف نوعی مولکول به نام دندریمر بکار گرفته می‌شود. این درخت با نماد $T_{k,d}$ نشان داده می‌شود که d درجه رئوس غیر آویخته و k فاصله رئوس آویخته و رأس مرکزی از این درخت را مشخص می‌کند.

تعریف ۵.۱ درخت بت تعمیم یافته^{۲۸} درختی ریشه‌دار است که درجه رئوس واقع بر یک سطح دارای درجه یکسان باشند.

تعریف ۶.۱ گراف $G = (V, E)$ دوبخشی^{۲۹} نامیده می‌شود اگر بتوان مجموعه رئوس آن را به دو مجموعه مجزای V_1 و V_2 چنان افزای نمود که هر یال از گراف دارای یک رأس در مجموعه V_1 و رأسی دیگر در مجموعه V_2 باشد.

قضیه ۷.۱ گراف G با مرتبه $n \geq 2$, دوبخشی است اگر و تنها اگر شامل دورهای با طول فرد نباشد. اثبات. فرض کنیم G یک گراف دوبخشی باشد. با توجه به تعریف گراف دوبخشی مجموعه رئوس G به دو زیر مجموعه مجزای V_1 و V_2 افزای می‌شوند. با توجه به اینکه برای هر یال از این گراف دو رأس آن به تنها یکی از این دو زیر مجموعه متعلق است، هر دور به شکل $v_1v_2v_3\dots v_nv_1$ دارای تعدادی فرد رأس مجزا است. بنابراین طول آن یعنی n زوج است.

بر عکس فرض کنیم طول هر دور در گراف G زوج باشد. بدون کاسته شدن از کلیت اثبات می‌توان G را همبند فرض کرد (در غیر این صورت یک مؤلفه همبند از G را در نظر می‌گیریم). در این صورت به ازای رأس دلخواه v_1 , مجموعه شامل v_1 و سایر رئوس G که فاصله زوج با v_1 دارند را V_1 و $V_2 = V(G) - V_1$ را می‌نامیم. چون طول هر دور در این گراف زوج است پس هر یال G رأسی از V_1 را به رأسی در V_2 متصل می‌کند. زیرا در غیر این صورت اگر یال uv دو رأس از V_1 را به متصل کند آن‌گاه به ازای رأس دلخواه x در V_1 فاصله x با رئوس u و v زوج است. بنابراین دور شامل یال uv و مسیرهایی با کمترین طول از x تا رئوس u و v طول فرد دارد. این با فرض زوج بودن طول هر دور در G متناقض است. بنابراین گرافی دوبخشی است. ■

تعریف ۸.۱ گراف G' را یکریخت^{۳۰} می‌نامیم، هرگاه تناظری یک به یک

^{۲۶}pendant

^{۲۷}dendrimer

^{۲۸}generalized bethe tree

^{۲۹}bipartite

^{۳۰}isomorphic

مثل $f : V \rightarrow V'$ وجود داشته باشد به گونه‌ای که (u, v) یالی از گراف G باشد اگر و تنها اگر $(f(u), f(v))$ یالی از گراف G' باشد.

تعريف ۹.۱ اگر $G = (V, E)$ گرافی از مرتبه n باشد در این صورت ماتریس مجاورت^{۳۱} گراف G با نماد $A = A(G) = n \times n$ است که به صورت زیر تعریف می‌شود

$$A(i, j) = \begin{cases} 1, & ij \in E(G) \\ 0, & ij \notin E(G) \end{cases}$$

بنابراین ماتریس مجاورت یک گراف ماتریسی متقارن است. مجموع درایه‌های واقع در سطر i ام برابر درجه رأسی از گراف است که بر چسب i ام را دارد. همچنین مجموع تمام درایه‌های ماتریس مجاورت هر گراف مساوی $2|E|$ است.

تعريف ۱۰.۱ اگر $G = (V, E)$ گرافی از مرتبه n باشد در این صورت ماتریس لaplaci^{۳۲} گراف G با نماد $L = L(G) = n \times n$ است که به صورت زیر تعریف می‌شود

$$L(i, j) = \begin{cases} \deg(i), & i = j \\ -A(G)(i, j), & i \neq j \end{cases}$$

چندجمله‌ای مشخصه ماتریس‌های منتب به یک گراف را چندجمله‌ای مشخصه^{۳۳} آن گراف می‌نامند. در فصل‌های بعد فقط در مورد چند جمله‌ای مشخصه ماتریس مجاورت با نماد $P_G(\lambda)$ و چند جمله‌ای مشخصه ماتریس لaplaci^{۳۴} با نماد $Q_G(\lambda)$ بحث خواهد شد. همچنین مجموعه ریشه‌های چند جمله‌ای مشخصه یک گراف با تعداد تکرار آنها را طیف^{۳۵} آن گراف می‌نامند.

به عنوان مثال اگر K_{n+1} گراف کامل مرتبه $n+1$ فرض شود چند جمله‌ای مشخصه ماتریس مجاورت آن به صورت $P_{K_{n+1}}(\lambda) = (\lambda + 1)^n(\lambda - n)$ است، پس طیف آن شامل -1 با تکرار n و همچنین n با تکرار یک است. اگر S_{n+1} را گراف ستاره از مرتبه $n+1$ بگیریم آن گاه چند جمله‌ای مشخصه ماتریس مجاورت آن به شکل $P_{S_{n+1}}(\lambda) = \lambda^{n-1}(\lambda^2 - n)$ است. پس طیف آن شامل $\pm\sqrt{n}$ با تکرار یک و همچنین 0 با تکرار $1-n$ است.

همچنین اگر P_n یک مسیر از مرتبه n و C_n یک دور از مرتبه n باشد آن‌گاه

$$P_{P_n}(\lambda) = \sum_{k=0}^{\lfloor \frac{n}{2} \rfloor} (-1)^k \binom{n-k}{k} \lambda^{n-2k}$$

^{۳۱}adjacency matrix

^{۳۲}Laplacian matrix

^{۳۳}characteristic polynomial

^{۳۴}spectrum

$$P_{C_n}(\lambda) = -2 + \sum_{k=0}^{\lfloor \frac{n}{2} \rfloor} (-1)^k \frac{n}{n-k} \binom{n-k}{k} \lambda^{n-2k}$$

کاربرد گسترده چندجمله‌ای مشخصه ماتریس‌های مناسب به یک گراف و همچنین ریشه‌های این چند جمله‌ای‌ها در علوم مختلف موجب شده است که بررسی این چندجمله‌ای‌ها و ریشه‌های آن برای گراف‌های مختلف به یکی از مباحث مهم در نظریه جبری گراف تبدیل شود. در واقع استفاده گسترده از مباحث جبرخطی و نظریه ماتریس‌ها موجب ارتباط تنگاتنگ نظریه گراف و مباحث جبری شده است. قضیه بعد یکی از قضایای پایه‌ای در باره‌ی محاسبه چندجمله‌ای مشخصه ماتریس مجاورت گراف‌هاست.

قضیه ۱۱.۱ فرض کنید G گراف حاصل از اتصال رأس x از گراف G_1 به رأس y از گراف G_2 باشد. در این صورت اگر G'_1 و G'_2 به ترتیب گراف‌های حاصل از حذف رأس x از گراف G_1 و حذف رأس y از گراف G_2 باشند، آن‌گاه

$$P_G(\lambda) = P_{G_1}(\lambda)P_{G_2}(\lambda) - P_{G'_1}(\lambda)P_{G'_2}(\lambda).$$

اثبات. به قضیه ۲.۱۲ در صفحه ۵۹ از مرجع [۶] مراجعه کنید.

قضیه بعد نیز روش محاسبه چند جمله‌ای مشخصه یک گراف که از اضافه کردن رئوس جدید به گراف اصلی بدست می‌آید را بیان می‌کند.

قضیه ۱۲.۱ فرض کنید G یک گراف با مجموعه رئوس $\{x_1, x_2, \dots, x_n\}$ و H گراف حاصل از اتصال k رأس جدید به هریک از رئوس x_i از گراف G باشد. در این صورت

$$P_H(\lambda) = \lambda^{nk} P_G(\lambda - \frac{k}{\lambda})$$

اثبات. به قضیه ۲.۱۳ در صفحه ۶۰ از مرجع [۶] مراجعه کنید.

تعریف ۱۳.۱ گراف یالی^{۲۵} گراف $L(G)$ با نماد (V, E) است که هر رأس آنمنتاظر یک یال از گراف G و دو رأس از این گراف به هم متصل می‌شوند اگر یال‌های متناظر در گراف G مجاور باشند. ارتباط تنگاتنگ مفاهیم مختلف بین گراف G و گراف $L(G)$ اهمیت گراف یالی یک گراف را برجسته‌تر می‌کند. بدست آوردن این ارتباط برای چندجمله‌ای‌های مشخصه و همچنین طیف‌های این دو گراف از سابقه زیادی برخوردار است. در ادامه به چند نکته در این مورد اشاره می‌شود.

قضیه ۱۴.۱ فرض کنید G یک گراف منظم و درجه هر رأس از آن r باشد. در این صورت اگر n تعداد رئوس و m تعداد یال‌های G باشد آن‌گاه

$$P_{L(G)}(\lambda) = (\lambda^r + 2)^{m-n} P_G(\lambda - r + 2).$$

^{۲۵}line graph

اثبات. به قضیه ۲.۱۵ در صفحه ۶۱ از مرجع [۶] مراجعه کنید.

لم ۱۵.۱ اگر T یک درخت مرتبه n و به ازای $\lambda_i(L(T))$ و $\mu_i(T)$ $1 \leq i \leq n$ به ترتیب طیف‌های ماتریس مجاورت گراف T و لaplاسی گراف یالی T با ترتیبی صعودی باشند. در این صورت

$$\mu_i(T) = \lambda_i(L(T)) + 2$$

اثبات. به مرجع [۳۰] مراجعه شود.

تعريف ۱۶.۱ فرض کنید G_1 و G_2 دو گراف دلخواه و v_1 و v_2 دو رأس از این دو گراف باشند. در این صورت به هم پیوستگی^{۳۶} $G_1 \cdot G_2$ با نماد $G_1 \cdot G_2$ گراف حاصل از معادل فرض کردن دو رأس v_1 و v_2 تعريف می‌شود.

قضیه ۱۷.۱ فرض کنید $G_1 \cdot G_2$ به هم پیوستگی دو گراف G_1 و G_2 و G'_1 و G'_2 به ترتیب گراف‌های حاصل از حذف رئوس v_1 و v_2 از دو گراف G_1 و G_2 باشند. در این صورت چندجمله‌ای مشخصه گراف $G_1 \cdot G_2$ از رابطه زیر بدست می‌آید

$$P_{G_1 \cdot G_2}(\lambda) = P_{G_1}(\lambda)P_{G_2}(\lambda) + P_{G'_1}(\lambda)P_{G'_2}(\lambda) - \lambda P_{G'_1}(\lambda)P_{G'_2}(\lambda)$$

اثبات. به صفحه ۱۵۹ مرجع [۶] مراجعه شود.

تعريف ۱۸.۱ اگر $G = \{G_1, G_2, \dots, G_n\}$ دنباله‌ای از گراف‌های ریشه‌دار و H یک گراف برجسب‌دار از مرتبه n باشد. در این صورت گراف حاصل از معادل فرض کردن رأس i ام گراف H و ریشه گراف G_i به ازای $i = 1, 2, \dots, n$ را حاصل ضرب ریشه‌ای^{۳۷} گراف H توسط دنباله G گویند [۲۹].

تعريف ۱۹.۱ اندیس توپولوژیک^{۳۸} یک گراف عددی است حقیقی که به آن گراف نسبت داده می‌شود و تحت یکریختی گراف‌ها پایا است.

با توجه به تعریف بالا می‌توان برای یک گراف اندیس‌های مختلفی تعریف کرد. به عنوان مثال تعداد رئوس و یا تعداد یال‌های یک گراف را می‌توان به عنوان ساده‌ترین اندیس‌های قابل تعریف برای آن گراف در نظر گرفت. اما اهمیت اندیس‌های توپولوژیک یک گراف در کاربرد آنها در مباحث کاربردی نظریه گراف‌ها می‌باشد. مقدار اندیس توپولوژیک یک گراف مولکولی مطرح در علوم مختلف مانند شیمی و فیزیک مبین خاصیتی فیزیکی یا شیمیابی از آن مولکول است. در ادامه اندیس‌های توپولوژیک که در فصل‌های بعد مورد مطالعه قرار خواهند گرفت معرفی می‌شوند.

^{۳۶}coalescence

^{۳۷}rooted product

^{۳۸}topological index

تعريف ۲۰.۱ اندیس وینر^{۳۹} گراف همبند $G = (V, E)$ با نماد $W(G)$ به صورت زیر تعریف می شود:

$$W(G) = \sum_{\{u,v\} \subseteq V(G)} d(u, v)$$

در واقع اندیس وینر گراف G برابر نصف مجموع فاصله های بین تمام رئوس گراف G است.

قضیه ۲۱.۱ فرض کنید n تعداد رئوس درخت T و $\binom{n}{2}$ تعداد انتخاب های ۲ از n باشد. در این صورت اگر $n \geq 2$ آنگاه

$$W(L(T)) = W(T) - \binom{n}{2}$$

اثبات. به مرجع [۵] مراجعه کنید.

قضیه ۲۲.۱ اگر $T_{k,d}$ معرف درخت دندانیم باشد آنگاه

$$W(T_{k,d}) = \frac{1}{(d-2)^3} [(d-1)^{\frac{1}{2}k} [kd^{\frac{1}{2}} - 2(k+1)d^{\frac{1}{2}} + d] + 2d^{\frac{1}{2}}(d-1)^k - d].$$

اثبات. به مرجع [۳۲] مراجعه کنید.

قضیه ۲۳.۱ اگر P_n و S_n به ترتیب گراف های مسیر و ستاره از مرتبه n باشند آنگاه $(\binom{n+1}{3})^2$ و $W(S_n) = (n-1)^2$ اثبات. به مرجع [۱۷] مراجعه کنید.

بررسی خواص مولکول ها با توجه به ساختار آنها موجب شد اندیس های دیگری نیز که مشابه اندیس وینر خاصیتی از مولکول را مشخص می کنند معرفی شوند. اندیس بعد مثالی از این اندیس ها است [۱۴].

تعريف ۲۴.۱ اندیس اندیس هایپر وینر^{۴۰} گراف همبند $G = (V, E)$ با نماد $WW(G)$ به صورت زیر تعریف می شود:

$$WW(G) = \frac{1}{2} \sum_{\{u,v\} \in V(G)} (d(u, v) + d^{\frac{1}{2}}(u, v)).$$

با استفاده از این اندیس می توان خواص متعددی از یک ساختار شیمیایی را بررسی کرد. ضریب سختی، دمای جوش و تبخیر، همچنین دما و فشار بحرانی نمونه هایی از این خواص هستند. [۳۹].

^{۳۹}Wiener index

^{۴۰}Hyper Wiener index

تعريف ۲۵.۱ اندیس شولتز^{۴۱} گراف همبند $G = (V, E)$ که اندیس تپیولوژیک مولکولی نیز نامیده می‌شود با نماد $MTI(G)$ نشان داده شده و به صورت زیر تعریف می‌شود:

$$MTI(G) = \sum_{u,v} \deg(u) \left(d_G(u, v) + A(u, v) \right)$$

که در آن $A(u, v)$ درآیه متناظر رئوس u و v در ماتریس مجاورت گراف G است.

برای تعریف اندیس بعد به معرفی چند نماد احتیاج داریم. بنابراین ابتدا این نمادها را معرفی می‌کنیم. فرض کنید $e = uv$ یک یال از گراف همبند G باشد. در این صورت $N_u(e)$ را مجموعه رئوسی از گراف G در نظر می‌گیریم که فاصله آنها تا رأس u کمتر از فاصله آنها تا رأس v باشد. به طور مشابه $N_v(e)$ مجموعه رئوسی از گراف G در نظر می‌گیریم که فاصله آنها تا رأس v کمتر از فاصله آنها تا رأس u باشد.

به بیانی دیگر

$$B_u(e) = \{x \mid x \in V(G), d_G(x, u) < d_G(x, v)\}$$

$$B_v(e) = \{x \mid x \in V(G), d_G(x, v) < d_G(x, u)\}.$$

حال قرار می‌دهیم $|B_v(e)| = n_v(e)$ و $|B_u(e)| = n_u(e)$. حال اندیس سگد گراف G را به شکل زیر تعریف می‌کنیم.

تعريف ۲۶.۱ اندیس سگد^{۴۲} گراف همبند $G = (V, E)$ با نماد $Sz(G)$ نمایش داده و به شکل زیر تعریف می‌شود:

$$Sz(G) = \sum_{e \in E(G)} n_u(e)n_v(e).$$

قضیه ۲۷.۱ اگر گراف G شامل دور نباشد اندیس وینر و سگد برای گراف G مساویند. اثبات. به مرجع [۴۳] مراجعه کنید.

اگر گراف دوبخشی باشد می‌توان اندیس سگد را با استفاده از رابطه ساده‌تری محاسبه کرد که توسط دوبرنین^{۴۳} و گاتمن به دست آمده است [۱۳]. فرض می‌کنیم به ازای رأس u از گراف G ، $d(u)$ مشخص کننده مجموع فواصل بین u و تمام رئوس گراف G باشد. در این صورت اندیس سگد گراف G طی قضیه بعد محاسبه می‌شود.

^{۴۱}Schultz

^{۴۲}Szeged

^{۴۳}Dobrynin

قضیه ۲۸.۱ فرض کنید $G = (V, E)$ یک گراف همبند و دوبخشی با n رأس و m یال باشد. در این صورت

$$Sz(G) = \frac{1}{\varphi} \left(n^2 m - \sum_{uv \in E(G)} (d(u) - d(v))^2 \right)$$

اثبات. اگر G یک گراف همبند دوبخشی باشد آنگاه به ازای یال دلخواه $e = uv$ از گراف هیچ رأسی فاصله برابر با u و v ندارد. زیرا در غیر این صورت اگر رأس y از گراف G فاصله ای برابر بازیوس u و v داشته باشد آنگاه G یک دور با طول فرد شامل کوتاه ترین مسیرها بین y و دو رأس u و v و همچنین یال uv است. بنابراین قضیه ۶.۱ این موضوع با دو بخشی بودن G متناقض است. بنابراین

$$\begin{aligned} d(u) &= \sum_{x \in B_u(e)} d(u, x) + \sum_{x \in B_v(e)} d(u, x) \\ d(v) &= \sum_{x \in B_u(e)} d(v, x) + \sum_{x \in B_v(e)} d(v, x) \end{aligned}$$

از طرفی بدیهی است اگر $x \in B_v(e)$ آنگاه $d(v, x) = d(u, x) + 1$. همچنین اگر $x \in B_u(e)$ آنگاه $d(v, x) = n + (d(v) - d(u))$ و $n_u(e) = n + (d(u) - d(v))$. بنابراین $d(v, x) = d(u, x) - 1$ توجه به تعریف اندیس سگد داریم

$$\begin{aligned} Sz(G) &= \sum_{e \in E(G)} n_u(e) n_v(e) \\ &= \sum_{e \in E(G)} \left(n + (d(u) - d(v)) \right) \left(n - (d(u) - d(v)) \right) \\ &= \frac{1}{\varphi} \left(n^2 m - \sum_{uv \in E(G)} (d(u) - d(v))^2 \right) \end{aligned}$$

بنابراین اثبات کامل می شود. ■

۲ فصل

اندیس‌های توپولوژیک گراف $TUC_4 C_8(R)$

در این فصل سعی می‌کنیم فرمول‌هایی صریح برای محاسبه اندیس‌های توپولوژیک گراف لوله نانو $TUC_4 C_8(R)$ بدهست آوریم. این اندیس‌ها به ترتیب اندیس وینر، شولتز، هایپر وینر و در انتهای اندیس سگد می‌باشند. هریک از این اندیس‌ها به ترتیب در بخش‌های مختلف این فصل محاسبه می‌شوند. اندیس وینر این گراف توسط دیودی و همکارانش در سال ۲۰۰۴ مورد بررسی قرار گرفته است [۱۲]. در این فصل اندیس وینر گراف $TUC_4 C_8(R)$ با روشی دیگر همچنین اندیس‌های شولتز، هایپر وینر و سگد برای این لوله نانو محاسبه خواهند شد [۲۳]-[۳۹]. در این روش برخلاف روش قبل فاصله تمام رئوس این گراف از یکدیگر و در نتیجه ماتریس فاصله این گراف بدست می‌آید. از این موضوع می‌توان برای محاسبه اندیس‌های مختلف این گراف که تعریف آنها بر مبنای مفهوم فاصله است، استفاده کرد. اندیس سگد این گراف توسط ایرانمنش و همکاران به طور همزمان مورد بررسی قرار گرفته است [۳۵].

اگر p و q مشخص کننده تعداد ردیف‌های چهار ضلعی از رئوس این گراف باشند، در سراسر این فصل از نماد ساده‌تر $T(p, q)$ برای نمایش گراف $TUC_4 C_8(R)$ استفاده خواهد شد. به منظور محاسبه اندیس‌های مختلف گراف $T(p, q)$ در این فصل به جز بخش ۴.۲ از یک برچسب‌گذاری مناسب برای رئوس این گراف استفاده می‌کنیم. این برچسب‌گذاری در شکل ۱-۲ نشان داده شده است. رئوس واقع بر هر سطر به سه نوع مختلف x_{kt} ، y_{kt} و z_{kt} تقسیم‌بندی شده‌اند. همچنین اندیس kt در این نماد‌گذاری برای رئوس گراف نشان دهنده‌ی این مطلب است که این رأس در سطر k ام و ستون t ام نمایش گراف واقع است. همچنین در سراسر این فصل فرض می‌کنیم $p \geq 1$ جزو صحیح عدد حقیقی $\frac{p+1}{2}$ باشد. این فرض